

## 部分系間相互作用の減衰演算子への影響

東大 理 物理 有光敏彦  
(現在は、筑波大 物理学系)

### 序

巨視的(統計力学的)な現象を記述するのに、確率微分方程式(ランジュバン方程式)を立てて議論することがよく行なわれる。それを解いて注目している物理量の振舞を求め観測量と比較することも行なわれているが、その出発点となる確率微分方程式を従来やられているような「現象論的考察」で書き下すのがはたしてよいのかどうかを少しきわしく調べる。

従来やられている方法とは次のようなものである。簡単のため A と B、2つの系が相互作用していて、それぞれが互いに独立な熱浴と接触している場合を例にとって説明する。3つ以上の系の場合も本質的には同じである。注目している確率変数を  $X_A, X_B$  とするとき、ランジュバン方程式を次のように書き下すのである。

$$\dot{X}_A = (i\Omega_A - K_A) X_A + i\Omega_{AB}(X_A, X_B) + F_A, \quad (0.1a)$$

$$\dot{X}_B = (i\Omega_B - K_B) X_B + i\Omega_{BA}(X_A, X_B) + F_B. \quad (0.1b)$$

ただし  $K_A$  は 系 A が単独にその熱浴と接触しているときに決まる減衰定数である。 $K_B$  も同様。 $\Omega_{AB}, \Omega_{BA}$  は 系 A と B の間の可逆的な相互作用を表わす部分であり、 $\Omega_A, \Omega_B$  は 各系に固有なモードを表わす。また  $F_A, F_B$  は ランジュバン力であり、ふつうは その相関を ガウス型と仮定する。

式 (0.1) の言うところは、系 A と B の間の相互作用がなく 独立にそれぞれが 热浴と接触している場合の減衰定数がわかっていて、系 A B 間の相互作用の仕方が知れていれば、系 A と B の間に相互作用のある場合のランジュバン方程式も たちに書き下せるということである。

ところで (0.1) は 本来微視的な方程式 (たとえば リウビエ方程式) から導出されるべきものである。注目している変数だけを残して 他の変数を消去することにより 系の不可逆性が表われるわけであるが、その減衰定数は 一般には A B 間の相互作用に依存するはずである。(0.1) には その効果は まったく入っていないわけで、注目している系 A と B の正しい発展を記述しないのであるが、A B 間の相互作用が十分弱ければ (0.1) による記述が近似的に正しいものと信じられている。

そこで 物理系の微視的モデルから出発して 热浴の变数を消去し、注目している系を構成している部分系間の相互作用が減衰定数に及ぼす影響を調べる。その結果 従来やられてゐる (0.1) から出発する議論は、はなはだ不完全で 危険であることが分かる。

### § 1. 一般論

互いに相互作用している 2 つの部分系 A, B と、それぞれに接触している 热浴  $R_A, R_B$  で構成されている 全体系を考える。簡単のため ハミルトニアンは 時間に依存しないとする。ハミルトニアンが 時間に依存する 場合や、3 つ以上の部分系の場合への拡張は、少し 議論を面倒にするだけである。§ 2 の パラメトリック発振器の系では 外場のため ハミルトニアンが 時間に依存する。§ 3 の レーザー系は 3 つ以上の部分系の一例である。

さて 全体系の ハミルトニアンは 次のように書ける。

$$\mathcal{H} = \mathcal{H}_0 + \mathcal{H}_1, \quad (1.1)$$

$$\mathcal{H}_0 = \mathcal{H}_F + \mathcal{H}_{AB}, \quad (1.2)$$

$$\mathcal{H}_1 = \mathcal{H}_{AB} + \mathcal{H}_{BR_B}. \quad (1.3)$$

ただし  $\mathcal{H}_{AB}$  は 部分系 A, B 間の相互作用を表かし、 $\mathcal{H}_{ARA}$

$(\mathcal{H}_{BR_B})$  は 部分系 A (B) と それに 接触している 热浴との 相互作用を 表わす。また

$$\mathcal{H}_F = \mathcal{H}_A + \mathcal{H}_B + \mathcal{H}_{R_A} + \mathcal{H}_{R_B}, \quad (1.4)$$

で、 $\mathcal{H}_A$  ( $\mathcal{H}_B$ ) は 部分系 A (B) の ハミルトニアンを、 $\mathcal{H}_{R_A}$  ( $\mathcal{H}_{R_B}$ ) は 热浴  $R_A$  ( $R_B$ ) の ハミルトニアンである。全体系の 密度演算子を  $W(t)$  と すると リウビュ方程式は ( $\hbar=1$ )

$$\dot{W}(t) = -i [\mathcal{H}, W(t)] \equiv -i \mathcal{H}^* W(t), \quad (1.5)$$

である。ここで

$$\tilde{W}(t) = U_0^\dagger(t, 0) W(t) U_0(t, 0), \quad (1.6)$$

$$\overline{W}(t) = U_F^\dagger(t, 0) W(t) U_F(t, 0), \quad (1.7)$$

なる量を 定義する。ただし

$$U_0(t, \tau) = \exp [-i \mathcal{H}_0 t], \quad (1.8)$$

$$U_F(t, \tau) = \exp [-i \mathcal{H}_F t], \quad (1.9)$$

であり、これらは

$$U_0(t, \tau) = U_F(t, 0) V(t, \tau) U_F^\dagger(t, 0), \quad (1.10)$$

$$V(t, \tau) = \exp \left\{ -i \int_{\tau}^t ds \overline{\mathcal{H}}_{AB}(s) \right\}, \quad (1.11)$$

なる関係で 結ばれて いる。 $(1.7)$  の 定義と 同様に

$$\overline{\mathcal{H}}_{AB}(t) = U_F^\dagger(t, 0) \mathcal{H}_{AB} U_F(t, 0), \quad (1.12)$$

として いる。

さて  $(1.6)$  を 用ひると  $(1.5)$  は

$$\dot{\tilde{W}}(t) = -i \widetilde{\mathcal{H}}(t) \tilde{W}(t), \quad (1.13)$$

と変形できる。ただし (1.14)

$$\tilde{\mathcal{H}}_1(t) = U_0^\dagger(t, 0) \mathcal{H}_1 U_0(t, 0),$$

である。いわゆる 減衰理論<sup>1)-3)</sup> を用いて 熱浴  $R_A, R_B$  の変数を消去すると (1.13) より

$$\dot{\tilde{W}}_S(t) = \text{tr}_R \int_0^\infty d\tau \left\{ [\tilde{\mathcal{H}}_1(t-\tau) \rho_R \tilde{W}_S(t), \tilde{\mathcal{H}}_1(t)] + \text{h.c.} \right\}, \quad (1.15)$$

が得られる。ただし  $\rho_R$  は熱浴の密度演算子で

$$\tilde{W}_S(t) = \text{tr}_R \tilde{W}(t), \quad (1.16)$$

である。  $\text{tr}_R$  は 熱浴変数に対して トレースをとることを表わす。(1.15) は 例によって熱浴との接触が弱いことと、マルコフ近似を用いている。ここで 任意の演算子  $X$  に対して

$$\tilde{X} = V^\dagger(t, 0) \bar{X} V(t, 0), \quad (1.17)$$

(ただし  $\tilde{X}, \bar{X}$  は (1.6)、(1.7) に準じて  $X$  より定義されたものとする) なる関係があることに注意すると、(1.15) は (1.7) を用いて 次のようにも書ける。

$$\begin{aligned} \dot{\tilde{W}}_S(t) &= -i [\bar{\mathcal{H}}_{AB}(t), \bar{W}_S(t)] \\ &+ \text{tr}_R \int_0^\infty d\tau \left\{ [V(t, t-\tau) \bar{\mathcal{H}}_1(t-\tau) V^\dagger(t, t-\tau) \rho_R \bar{W}_S(t), \bar{\mathcal{H}}_1(t)] + \text{h.c.} \right\}. \end{aligned} \quad (1.18)$$

次の量を定義して用いていき。

$$\bar{\mathcal{H}}_1(t) = U_F^\dagger(t, 0) \mathcal{H}_1 U_F(t, 0), \quad (1.19)$$

$$\bar{W}_S(t) = \text{tr}_R \bar{W}(t). \quad (1.20)$$

ところで 従来よくやられる近似（ハイゼンベルグ表示で (0.1) 式に相当する近似）は、(1.18) で  $V(t, t-\tau) = 1$  とすると

とに対応している。つまり

$$\begin{aligned}\dot{\bar{W}}_S(t) = & -i [\bar{H}_{AB}(t), \bar{W}_S(t)] \\ & + \text{tr}_R \int_0^t d\tau \{ [\bar{H}_I(t-\tau) P_R \bar{W}_S(t), \bar{H}_I(t)] + \text{h.c.} \},\end{aligned}\quad (1.21)$$

となり、減衰演算子の項である。右辺オヌ項には部分系間相互作用  $\bar{H}_{AB}$  の効果はまったく入らないわけである。その効果は右辺オヌ1項に可逆な相互作用としてのみ考慮されるのである。

そこで以下でパラメトリック発振器(§2)とレーザー系(§3)を、(1.18)及び(1.21)の両方で扱い、はたして従来信じられていた事が本当かどうか、さらに(1.21)で無視された項の効果がどの程度のものなのかを調べてみることにする。

## §2. パラメトリック発振器

パラメトリック発振器とは、LiNbO<sub>3</sub>、KDP、ADPなど非線型光学過程を有する物質を用いてレーザーから発振されたコヒーレントな光の振動数を連続的に変えるための装置である。<sup>4)</sup> レーザー発振器は発振に用いる物質に特有な振動数の光しか発振できない(最近では色素レーザーとよばれる振動数可変の発振器も作られるようになった)。そこでレ

レーザー光を用いて 吸収スペクトルなどとる時には、パラメトリック発振器は かかせないものである。図1は パラメトリック発振器の模式図である。

$\omega_p$  が 入射 レーザー光の振動数  
を表し、 $\omega_s$ ,  $\omega_i$  が  
それぞれ シグナル光

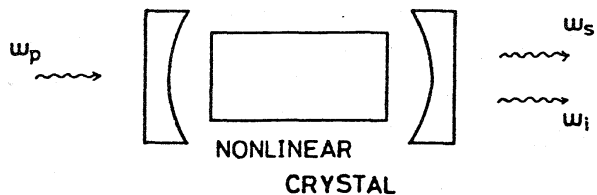


図 1

とアイドラー光の振動数である。振動数  $\omega_p$  のレーザー光は十分強力でコヒーレントであるので、古典場として扱うことになると、パラメトリック過程を記述するハミルトニアンは<sup>5), 6)</sup>

$$\mathcal{H}(t) = \mathcal{H}_S(t) + \mathcal{H}_R + \mathcal{H}', \quad (2.1)$$

ただし

$$\mathcal{H}_S(t) = \omega_a a^\dagger a + \omega_b b^\dagger b + (G e^{-2i\omega t} a^\dagger b^\dagger + G^* e^{2i\omega t} a b), \quad (2.2)$$

$$\mathcal{H}' = g_1 (a^\dagger C + a C^\dagger) + g_2 (b^\dagger D + b D^\dagger), \quad \mathcal{H}_R = \mathcal{H}_R^C + \mathcal{H}_R^D, \quad (2.3)$$

となる。 $\omega_a$  ( $\omega_b$ ) は シグナル (アイドラー) 光の振動数であり、 $a$  ( $b$ )、 $a^\dagger$  ( $b^\dagger$ ) は その消滅 (生成) 演算子である (ボーズ交換関係に従う)。 $G$  は レーザー光と シグナル及びアイドラー光の相互作用の強さであり、レーザー光の複素振幅と非線型光学物質の物質定数でかけている。また 便宜上  $2\omega = \omega_p$  としている。 $C$  ( $D$ ) は シグナル (アイドラー) 光と結合定数  $g_1$  ( $g_2$ ) で接触している熱浴の演算子である。 $\mathcal{H}_R$  は

熱浴自体のハミルトニアンである。この系を 模式的に表わしたのが 図2

である。A、B

が シグナル及

びアイドラーの

系を表わし、そ

れぞれの 热浴を C、D としている。

全系の 密度演算子を  $W(t)$  とすると、リウビュ方程式は

$$\dot{W}(t) = -i [\mathcal{H}(t), W(t)], \quad (2.4)$$

となる。§1 の一般論に従って 相互作用表示に移して 減衰理論を適用する。そのあと 回転系に乗ってハミルトニアンの時間依存性をとると、(1.18)に相当する方程式が得られるが、この系では それを厳密に取扱うことができる。厳密に扱えるために かえって技巧を要し 難題の事もあるのだが、すべて省略して結果だけを書くと<sup>7), 8)</sup>

$$\dot{f}(t) = \left\{ \frac{\partial}{\partial \alpha} (iH + K) \alpha + c.c. + \frac{\partial}{\partial \alpha} D \frac{\partial f^+}{\partial \alpha} \right\} f(t), \quad (2.5)$$

となる。ただし  $f(t)$  は  $a$  を逆ノーマル順に、 $b$  をノーマル順にならべて、密度演算子

$$f(t) = S_2(t) \left\{ t_{R_R} S^+(t) W(t) S(t) \right\} S_2^+(t), \quad (2.6)$$

を ボーズ=コヒーレント表示で C-数空間に 書いた C-数列である。ここで

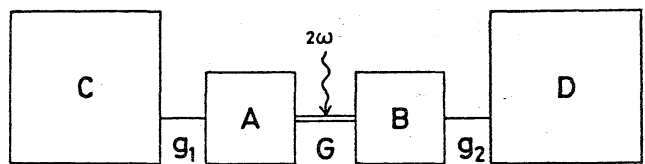


図 2

$$S(t) = \exp_+ \left[ -i \int_0^t d\tau \mathcal{H}_S(\tau) \right] \exp \left[ -i \mathcal{H}_R t \right], \quad (2.7)$$

$$S_2(t) = \exp \left[ -i (\mathcal{H}_S - 2\omega K_z) t \right], \quad (2.8)$$

であり、 $\exp_+$ は time ordered exponential "  $\mathcal{H}_S = \mathcal{H}_S(t=0)$  "。

また

$$K_z = \frac{1}{2} (a^\dagger a + b b^\dagger), \quad (2.9)$$

である。 $t_{nR}$ は例によつて熱浴変数についてのトレースを示す。(2.5)中の  $H$ 、 $K$ 、 $D$ は  $2 \times 2$  行列でその要素は

$$H_{11} = H_{22} = \frac{1}{2} (\omega_a - \omega_b), \quad (2.10)$$

$$H_{12} = G, \quad H_{21} = -G^*,$$

$$\begin{aligned} K_{11} &= K_C' + i\Delta_C' = g_1^2 \int_0^\infty d\tau \langle [C(\tau), C^\dagger(0)] \rangle_R e^{i\omega_a \tau} \operatorname{ch} GT, \\ K_{12} &= K_C'' + i\Delta_C'' = i g_1^2 \int_0^\infty d\tau \langle [C(\tau), C^\dagger(0)] \rangle_R e^{i\omega_a \tau} \operatorname{sh} GT, \\ K_{21} &= -K_D'' - i\Delta_D'' = -i g_2^2 \int_0^\infty d\tau \langle [D^\dagger(\tau), D(0)] \rangle_R e^{-i\omega_b \tau} \operatorname{sh} GT, \\ K_{22} &= K_D' + i\Delta_D' = -g_2^2 \int_0^\infty d\tau \langle [D^\dagger(\tau), D(0)] \rangle_R e^{-i\omega_b \tau} \operatorname{ch} GT, \end{aligned} \quad (2.11)$$

$$\begin{aligned} D_{11} &= 2\Lambda_C' = 2g_1^2 \Re \int_0^\infty d\tau \langle C^\dagger(0) C(\tau) \rangle_R e^{i\omega_a \tau} \operatorname{ch} GT, \\ D_{22} &= 2\Lambda_D' = 2g_2^2 \Re \int_0^\infty d\tau \langle D(0) D^\dagger(\tau) \rangle_R e^{-i\omega_b \tau} \operatorname{ch} GT, \\ D_{12} &= D_{21}^* = -\Lambda_{C-D}'' - i\Gamma_{C-D}''' = -(\Lambda_C'' - \Lambda_D'') - i(\Gamma_C'' + \Gamma_D'') \\ &= -i \left\{ g_1^2 \int_0^\infty d\tau \langle C^\dagger(0) C(\tau) \rangle_R e^{i\omega_a \tau} \operatorname{sh} GT + g_2^2 \int_0^\infty d\tau \langle D(0) D^\dagger(\tau) \rangle_R^* e^{-i\omega_b \tau} \operatorname{sh} GT \right\}, \end{aligned} \quad (2.12)$$

で定まる。ただし

$$\langle \dots \rangle_R = Z_R^{-1} t_{nR} e^{-\beta_C \mathcal{H}_R^C - \beta_D \mathcal{H}_R^D} \dots, \quad Z_R = t_{nR} e^{-\beta_C \mathcal{H}_R^C - \beta_D \mathcal{H}_R^D}, \quad (2.13)$$

で  $\beta_C = 1/k_B T_C$ ,  $\beta_D = 1/k_B T_D$ 。また

$$\underline{\alpha} = \begin{pmatrix} \alpha \\ \beta^* \end{pmatrix}, \quad \frac{\partial}{\partial \underline{\alpha}} = \left( \frac{\partial}{\partial \alpha}, \frac{\partial}{\partial \beta^*} \right). \quad (2.14)$$

$f(t)$  の規格化は

$$\int d\underline{\alpha} d\underline{\alpha}^* f(t) = 1, \quad (2.15)$$

である。 $(2.8)$  は Fokker-Planck 方程式であり、これより種々のモーメントの時間発展が得られる。ここで次の事が重要である。Hの中のG依存性は、 $(1.18)$ 右辺の第一項に相当し、可逆な相互作用を表わし、一方 KとDの中のG依存性は $(1.18)$ 右辺第二項の  $V(t, t-\tau)$  から出たものである。この系では  $V(t, t-\tau)$  の情報は正確に取入れられていく。

さて、従来やられている $(1.21)$ に相当する近似で得られる Fokker-Planck 方程式は、 $(2.5)$ で K, D 中の G を零とおいた  $t$  のである。つまり  $(2.11), (2.12)$  より

$$K_{11} = g_1^2 \int_0^\infty d\tau \langle [C(\tau), C^\dagger(0)] \rangle_R e^{i\omega_a \tau}, \quad K_{22} = g_2^2 \int_0^\infty d\tau \langle [D^\dagger(\tau), D(0)] \rangle_R e^{-i\omega_b \tau}, \quad (2.16)$$

$$K_{12} = K_{21} = 0,$$

$$D_{11} = 2g_1^2 \text{Re} \int_0^\infty d\tau \langle C^\dagger(0) C(\tau) \rangle_R e^{i\omega_a \tau}, \quad D_{22} = 2g_2^2 \text{Re} \int_0^\infty d\tau \langle D(0) D^\dagger(\tau) \rangle_R e^{-i\omega_b \tau}, \quad (2.17)$$

$$D_{12} = D_{21} = 0,$$

となる。

以下で上の2つのFokker-Planck 方程式から得られるモーメントの時間発展を比較するわけであるが、その前に熱浴

の性格を決めておかなければならぬ。そのためには、熱浴のスペクトル関数を知ればよいか、それは原理的には熱浴の吸収スペクトルを測定して得ることができる。ここではガウス型のスペクトルを持つと仮定して次のように与えることにする。<sup>7), 8)</sup>

$$\int_{-\infty}^{\infty} dt g_1^2 \langle C(t) C^*(0) \rangle_R e^{-i\omega t} = 2\pi I_C \exp \left[ -(\Omega_C + \omega)^2 / \sigma_C^2 \right], \quad (2.18a)$$

$$\int_{-\infty}^{\infty} dt g_2^2 \langle D(t) D^*(0) \rangle_R e^{-i\omega t} = 2\pi I_D \exp \left[ -(\Omega_D - \omega)^2 / \sigma_D^2 \right]. \quad (2.18b)$$

表1-(i)に数値計算に用いたパラメータを示しておく。そこには厳密にやった場合の発振臨界値  $G_{th}(PT)$  と、従来の近似による臨界値  $G_{th}(CT)$  も示してある。(パラメトリック発振器のモデルは、必要なモーメントの解や、発振臨界値

表 1

(i)	$\omega_a$	$\omega_b$	$\beta_c$	$\beta_d$	$I_c$	$I_d$	$\Omega_c$	$\Omega_d$	$\sigma_c$	$\sigma_d$	$G_{th}(PT)$	$G_{th}(CT)$
	1.2	0.8	1.0	0.8	0.1	0.1	1.0	1.0	1.0	1.0	0.418	0.563

(ii)	G	0.35	0.1
PT	$\kappa_c = 0.770 + 0.284 i$	$\kappa_c = 0.706 + 0.0729 i$	
	$\kappa_d = 0.253 - 0.216 i$	$\kappa_d = 0.269 - 0.0570 i$	
	$\Delta_c = -0.524 + 0.261 i$	$\Delta_c = -0.427 + 0.0704 i$	
	$\Delta_d = 0.441 + 0.0153 i$	$\Delta_d = 0.376 + 0.00694 i$	
	$\Lambda_c = 0.338 - 0.0476 i$	$\Lambda_c = 0.305 - 0.0122 i$	
	$\Lambda_d = 0.591 - 0.264 i$	$\Lambda_d = 0.574 - 0.0692 i$	
	$\Gamma'_c = 0.123$	$\Gamma'_c = 0.0329$	
	$\Gamma'_d = 0.139$	$\Gamma'_d = 0.0398$	
CT	$\kappa_c = 0.700$		
	$\kappa_d = 0.271$		
	$\Delta_c = -0.419$		
	$\Delta_d = 0.371$		
	$\Lambda_c = 0.302$		
	$\Lambda_d = 0.572$		

注) エネルギーと時間は、 $(\omega_a + \omega_b)/2 = \omega_p/2$  でスケールしている。

を解析的に求めることができますが、その表式は複雑であるので 数値計算して絵に書いてみるのです。) なお、 $G$  は入射するレーザー光の強度を変えることによって外から制御できる量である。部分系間の相互作用の強さが系の緩和にいかなる影響があるか調べるためにこの系が注目に値するのは、このためである。

図 3(ii) に、回転系でみた  $t \rightarrow \infty$  でのシグナル (アイドラー) の光子数の  $G$  依存性を示した。 $K_C'$  と  $K_D'$  の  $G$  依存性をのせてある。実線が厳密な取扱い (以下 PT と記す) によるもので、虚線が従来の近似によるもの (以下 CT と記す) である。光子数の  $G$  依存性をみると、たしかに  $G$  (部分系間の相互作用の強さ) が小さいときには PT と CT の差が小さくなることがわかる。これは 従来信じられていたとおりである。緩和定数  $K_C'$ ,  $K_D'$  は PT では  $G$  に依ることがわかる。もちろん CT では  $G$  に依存しない。

図 3(ii) には、 $t \rightarrow \infty$  でのシグナル光とアイドラー光の位相

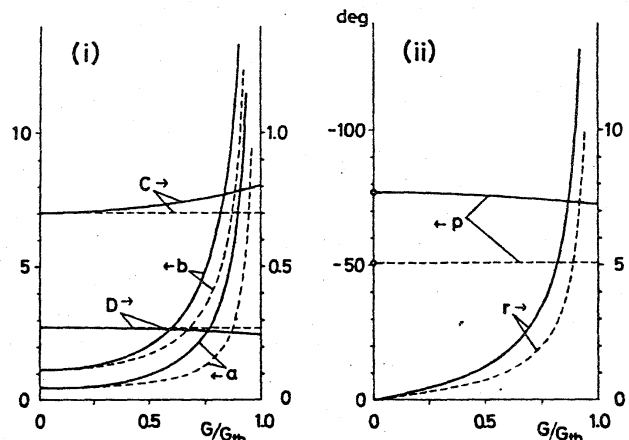


図 3

相関  $\langle a^+ b^+ \rangle_{t \rightarrow \infty}$  を 回転系でみたものの G 依存性を示した。r は その絶対値を表わし、y は 位相である。これをみると r については やはり "G → 小さく" PT と CT の差が小さくなっている。ところが 位相 y については、G が小さいから PT と CT の差が大きいなどとは言えないことがわかる。つまり 位相相関などのようないわば 非対角成分を記述するには、従来の近似は 妥当でないということである。

図 4 と 5 に  $G = 0.35$  と  $0.1$  の場合の 光子数及び位相相関の時間発展を示した。 $G = 0.35$  と  $0.1$  の場合を較べると、光子数や位相相関の

絶対値は  $G = 0.1$

の方が すべての  
時間領域において  
PT と CT の一致が  
いいようによりこ  
とがわかる (図 5  
の縦軸のスケール  
は、図 4 の  $1/10$  にな  
っている)。ところ

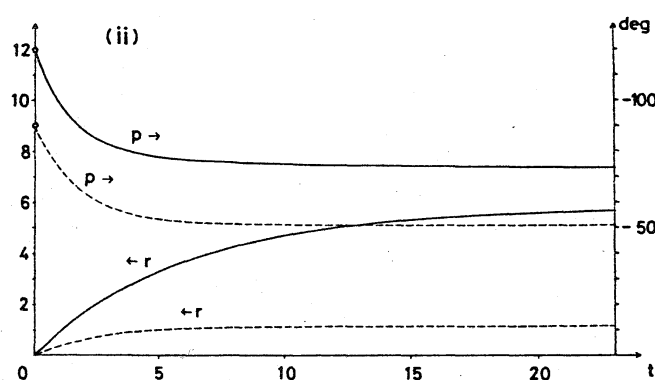
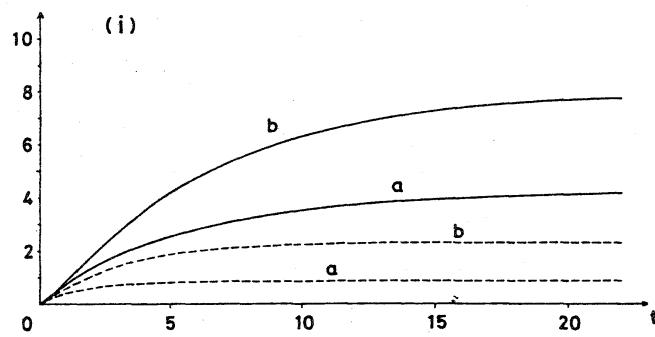


図 4

わらす PTと CTの  
差は、全時間領域  
で大きいままであ  
る（位相  $\varphi$  につい  
ては 図 4 と 5 の  
縦軸のスケールは

同じである）。

$G = 0.35, 0.1$  の場合の  $K$  と  $D$  の要素に関連した量は、表 I (ii) に掲げてある。PT の場合は それらの量は “複素数”、 $G$  に依存している。CT では  $G$  依存性はなく、それらは実数である。

以上で たとえ  $G \ll G_{th}$  であっても、物理量によっては CT では記述できないものがあることがわかった。しかもそれは 非対角成分に関する量でとくに不完全であることがわかった。

ところで レーザー系では、レーザー光のボーズ演算子の平均値  $\langle b \rangle$  が オーダーハラメータである。この時間発展等を記述する際 CT でやったのでは 問題がありそうに見える。そこで 次章で レーザー系を PT で扱い 従来の結果と比較してみることにする。

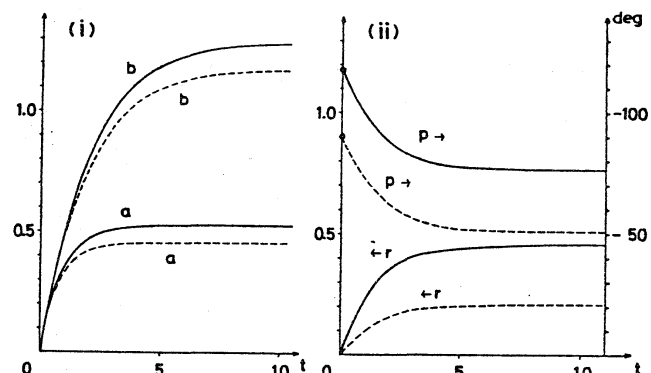


図 5

### § 3. レーザー

二準位の同種原子が  $N$  ある系と、その準位間エネルギーと共に鳴している单一の光子場というモデルを考える。原子系と光子場には それぞれ独立な熱浴が接触しているものとする。原子に対する熱浴は ポンピングの効果も含まれていいものとし、それに対応した実効温度（負にもなり得る）で特徴づけられるものとする。模式的に書くと 全系は図 6 のように描くことができる。

導出は省略するが、  
スピニ演算子とボツン  
演算子を用いて 全系  
のハミルトニアンを書  
くと 次のようになる。<sup>(3)-11)</sup>

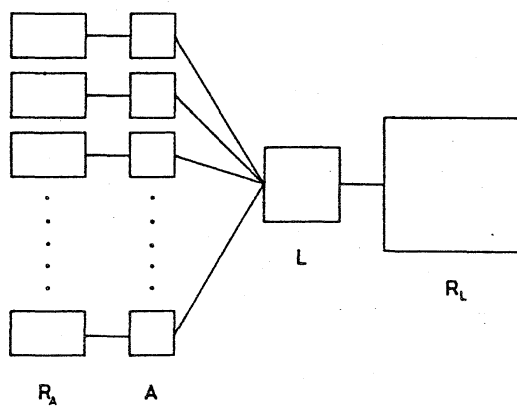


図 6

$$\mathcal{H} = \mathcal{H}_0 + \mathcal{H}_1, \quad (3.1)$$

$$\mathcal{H}_0 = \mathcal{H}_L + \mathcal{H}_A + \mathcal{H}_{AL} + \mathcal{H}_{R_L} + \mathcal{H}_{R_A}, \quad (3.2)$$

$$\mathcal{H}_1 = \mathcal{H}_{LR} + \mathcal{H}_{AR}. \quad (3.3)$$

$\mathcal{H}_L$ 、 $\mathcal{H}_A$ 、 $\mathcal{H}_{AL}$  は それぞれ レーザー系、原子系及びその間の相互作用を表わすハミルトニアンで

$$\mathcal{H}_A = \epsilon \sum_{\mu=1}^N S_{\mu}^z + \frac{1}{2} \epsilon \in N, \quad (3.4)$$

$$\mathcal{H}_L = \omega b^+ b, \quad (3.5)$$

$$\mathcal{H}_{AL} = g \sum_{\mu=1}^N (S_{\mu}^{+} b + S_{\mu}^{-} b^{\dagger}), \quad (3.6)$$

となる。  $\omega = \epsilon$  (共鳴) の場合を扱う。  $S$  はスピン  $1/2$  の演算子で 交換関係

$$[S_{\mu}^z, S_{\mu}^{\pm}] = \pm S_{\mu}^{\mp}, \quad [S_{\mu}^{+}, S_{\mu}^{-}] = 2 S_{\mu}^z, \quad (3.7)$$

をみたす。  $b$  ( $b^{\dagger}$ ) は ボーズ消滅 (生成) 演算子である。熱浴との相互作用は  $\mathcal{H}_{LR}$  と  $\mathcal{H}_{AR}$  で表わし

$$\mathcal{H}_{LR} = P b^{\dagger} + P^{\dagger} b + \Theta b^{\dagger} b, \quad (3.8)$$

$$\mathcal{H}_{AR} = \sum_{\mu=1}^N (T_{\mu} S_{\mu}^{+} + T_{\mu}^{\dagger} S_{\mu}^{-} + \Theta_{\mu} S_{\mu}^z), \quad (3.9)$$

で与えられるものとする。  $P$ 、 $\Theta$  及び  $T_{\mu}$ 、 $\Theta_{\mu}$  は それぞれ光子系及び原子系の熱浴の演算子である。また  $\mathcal{H}_{Re}$  と  $\mathcal{H}_{Ra}$  は光子系と原子系の熱浴のハミルトニアンである。

さて

$$\mathcal{H}_F = \mathcal{H}_L + \mathcal{H}_A + \mathcal{H}_{Re} + \mathcal{H}_{Ra}, \quad (3.10)$$

として (3.1) ~ (3.3) を用いると (1.18) 式を書き下すことができる。従来は (1.21) 式を用いて以下の議論をするのであるが、ここでは 嚴密な表式 (1.18) から出発する。パラメトリック発振器の場合のように

$$V(t, \tau) = \exp_{+} \left\{ -i \int_{\tau}^t ds \overline{\mathcal{H}}_{AL}(s) \right\}, \quad (3.11)$$

を正確に扱うことが レーザーの場合は できないので、 $V(t, \tau)$  の効果を最低次 (2 のオーダーまで) まで取り入れることにする。そして 従来の方法に対する補正を求めるこに

する。この近似で (1.18) は 次のようになる。  
7), 12)

$$\overset{\bullet}{W}_S(t) = -i (\mathcal{H}_{AL}^X + \delta \mathcal{H}^X + i \Pi_L^{(o)} + i \Pi_A^{(o)} + i \Pi_L^{(u)} + i \Pi_A^{(u)}) \overset{\bullet}{W}_S(t). \quad (3.12)$$

$\Pi_L^{(u)}$  と  $\Pi_A^{(u)}$  が オーダー  $-g$  の補正である。各演算子は 次のよ  
うに与えられる。

$$\delta \mathcal{H} = \Delta b^\dagger b + \Delta_a \sum_\mu S_\mu^z, \quad (3.13)$$

$$\begin{aligned} \Pi_L^{(o)} X &= K \left\{ [bX, b^\dagger] + [b, Xb^\dagger] \right\} + 2K\bar{n} [b, [X, b^\dagger]] \\ &\quad + \delta \left\{ [b^\dagger b X, b^\dagger b] + [b^\dagger b, X b^\dagger b] \right\}, \end{aligned} \quad (3.14)$$

$$\begin{aligned} \Pi_A^{(o)} X &= \sum_\mu \left[ \frac{1}{2} \gamma_{10}' \left\{ [S_\mu^- X, S_\mu^+] + [S_\mu^-, X S_\mu^+] \right\} \right. \\ &\quad \left. + \frac{1}{2} \gamma_{01}' \left\{ [S_\mu^+ X, S_\mu^-] + [S_\mu^+, X S_\mu^-] \right\} \right. \\ &\quad \left. + \frac{1}{2} \delta_a \left\{ [S_\mu^z X, S_\mu^z] + [S_\mu^z, X S_\mu^z] \right\} \right], \end{aligned} \quad (3.15)$$

$$\begin{aligned} \Pi_L^{(u)} X &= g \sum_\mu \left\{ \frac{\partial K_0}{\partial \omega} [S_\mu^- X, b^\dagger] + \frac{\partial K_1}{\partial \omega} [S_\mu^+ X, b] + \text{h.c.} \right. \\ &\quad \left. - i \delta^{(u)} ([S_\mu^- b^\dagger X, b^\dagger b] - [S_\mu^+ b X, b^\dagger b]) + \text{h.c.} \right\}, \end{aligned} \quad (3.16)$$

$$\begin{aligned} \Pi_A^{(u)} X &= -g \sum_\mu \left\{ \frac{\partial \gamma_{10}}{\partial \epsilon} [S_\mu^z b X, S_\mu^+] + \frac{\partial \gamma_{01}}{\partial \epsilon} [S_\mu^z b^\dagger X, S_\mu^-] + \text{h.c.} \right. \\ &\quad \left. + i \delta_a^{(u)} ([S_\mu^- b^\dagger X, S_\mu^z] - [S_\mu^+ b X, S_\mu^z]) + \text{h.c.} \right\}, \end{aligned} \quad (3.17)$$

ただし

$$K = K_0' - K_1', \quad \Delta = K_0'' + K_1'', \quad \Delta_a = \frac{1}{2} (\gamma_{10}'' - \gamma_{01}''), \quad (3.18)$$

$$\frac{1}{2} \gamma_{10}(\epsilon) = \int_0^\infty d\tau \langle T_a(\tau) T_a^\dagger(0) \rangle_R e^{i\epsilon\tau}, \quad \frac{1}{2} \gamma_{01}(\epsilon) = \int_0^\infty d\tau \langle T_a^\dagger(\tau) T_a(0) \rangle_R e^{-i\epsilon\tau}, \quad (3.19a)$$

$$\frac{1}{2} \delta_a = \int_0^\infty d\tau \langle \Theta_a(\tau) \Theta_a(0) \rangle_R, \quad \delta_a^{(u)} = \int_0^\infty d\tau \tau \langle \Theta(\tau) \Theta(0) \rangle_R, \quad (3.19b)$$

$$K_0(\omega) = \int_0^\infty d\tau \langle T(\tau) T^\dagger(0) \rangle_R e^{i\omega\tau}, \quad K_1(\omega) = \int_0^\infty d\tau \langle T^\dagger(\tau) T(0) \rangle_R e^{-i\omega\tau}, \quad (3.19c)$$

$$\delta = \int_0^\infty d\tau \langle \Theta(\tau) \Theta(0) \rangle_R, \quad \delta^{(u)} = \int_0^\infty d\tau \tau \langle \Theta(\tau) \Theta(0) \rangle_R, \quad (3.19d)$$

とあつてある。原子に対する熱浴は すべて同等なものとし

で  $\Gamma_a = \Gamma_\mu$ ,  $\Theta_a = \Theta_\mu$  ( $\mu = 1, 2, \dots, N$ ) とおいた。また

$$\bar{n} = (e^{\omega/k_B T_L} - 1)^{-1}, \quad (3.20)$$

であり、 $T_L$ はレーザー光の熱浴の温度をあらわす。 $(3.19)$  に  
おいて

$$\langle \dots \rangle_R = \text{tr}_R P_R \dots, \quad (3.21)$$

$$P_R = Z_R^{-1} e^{-\hbar E_R / k_B T_L} e^{-\hbar E_R / k_B T_A}, \quad (3.22)$$

$$Z_R = \text{tr}_R e^{-\hbar E_R / k_B T_L} e^{-\hbar E_R / k_B T_A}, \quad (3.23)$$

である。 $\delta_a, \delta_a'', \delta, \delta''$ は実数であるが、 $\gamma_{10}, \gamma_{01}, \kappa_0, \kappa_1$ は複素数であるので実数部と虚数部を次のように分離している。

$$\gamma_{10} = \gamma_{10}' + i\gamma_{10}'', \quad \gamma_{01} = \gamma_{01}' + i\gamma_{01}'', \quad (3.24a)$$

$$\kappa_0 = \kappa_0' + i\kappa_0'', \quad \kappa_1 = \kappa_1' + i\kappa_1''. \quad (3.24b)$$

$(3.22)$  に出てく  $T_A$  は、原子系の熱浴の温度であるが

$$\sigma_0 \equiv \frac{\gamma_{01}' - \gamma_{10}'}{\gamma_{01}' + \gamma_{10}'} = -\text{th}(\epsilon/2k_B T_A), \quad (3.25)$$

で定義され、 $\sigma_0 < 0$  のことを「ポンビング」=パラメータと呼んで  
いる。 $\sigma_0 > 0$  のときは  $T_A < 0$  となる(反転分布)。

式  $(3.12)$  を用いると

$$\begin{aligned} \langle \dot{s}_\mu^z \rangle &= -\gamma_{10} (\langle s_\mu^z \rangle - \frac{1}{2} \sigma_0) \\ &\quad - ig \underbrace{\left(1 + \frac{\partial \Delta_a}{\partial \epsilon}\right)}_{\gamma_{10}} (\langle s_\mu^+ b \rangle - \langle s_\mu^- b^\dagger \rangle) \\ &\quad \underbrace{- \frac{1}{2} g \frac{\partial \gamma_{10}}{\partial \epsilon} (\langle s_\mu^+ b \rangle + \langle s_\mu^- b^\dagger \rangle)}, \end{aligned} \quad (3.26a)$$

$$\begin{aligned}\langle \dot{s}_\mu^+ \rangle &= i(\epsilon + \Delta_a) \langle s_\mu^+ \rangle - \gamma_\perp \langle s_\mu^+ \rangle \\ &\quad + ig \underbrace{\left(1 + \delta_a^{(1)}\right)}_{-\frac{1}{2}g\left\{\frac{\partial}{\partial\epsilon}(\gamma_{10}' - \gamma_{01}') - i\frac{\partial}{\partial\epsilon}(\gamma_{10}'' + \gamma_{01}'')\right\}} \langle b^\dagger \rangle, \quad (3.26b)\end{aligned}$$

$$\begin{aligned}\langle \dot{b}^\dagger b \rangle &= -2k \left( \langle b^\dagger b \rangle - \bar{n} \right) \\ &\quad + ig \left( 1 + \frac{\partial\Delta}{\partial\omega} \right) \sum_\mu (\langle s_\mu^+ b \rangle - \langle s_\mu^- b^\dagger \rangle) \\ &\quad - g \frac{\partial k}{\partial\omega} \sum_\mu (\langle s_\mu^+ b \rangle + \langle s_\mu^- b^\dagger \rangle), \quad (3.26c)\end{aligned}$$

$$\begin{aligned}\langle \dot{b} \rangle &= -i(\omega + \Delta) \langle b \rangle - (k + \delta) \langle b \rangle \\ &\quad - ig \left( 1 - \frac{\partial\Delta}{\partial\omega} + \delta^{(1)} - i\frac{\partial k}{\partial\omega} \right) \sum_\mu \langle s_\mu^- \rangle, \quad (3.26d)\end{aligned}$$

などのモーメントの運動方程式が得られる。(3.26)中の $\gamma_{10}$ 、

$\gamma_{01}$ は 縦及び横緩和率をあらわし

$$\gamma_{10} = \gamma_{10}' + \gamma_{01}', \quad \gamma_\perp = \frac{1}{2}(\gamma_{10}' + \gamma_{01}' + \delta_a), \quad (3.27)$$

で定義される。また  $\langle \dots \rangle$  の意味は

$$\langle \dots \rangle = \text{tr } W_s(t) \dots, \quad W_s(t) = e^{-iH_F t} \overline{W_s}(t), \quad (3.28)$$

で、これは スピンとボーズ演算子についてのトレースを意味する。(3.26)の波線の部分が 従来の近似に対する補正項である。係数の補正ばかりでなく 新しい項が付け加わっていふことがある。これらの補正項は  $\gamma$  について 1 次のオーダー (つまり 可逆的な項と同じオーダー) であり、 $O(g^2)$  を無視する近似においては 一般には省略できなものである。補正項が 無視できるかどうかは、熱浴の性質によって決まるのである。

さて レーザー系を ランジュバン方程式で扱う場合、  
 (3.26) の  $\langle \dots \rangle$  を取り除いて 右辺に ランジュバン力を付け加  
 えたものから出発するわけである。従来は 波線の部分に対  
 応する項は 省略しているのであるが、 $\S 2$  のパラメトリッ  
 プ発振器の例でもわかるように 注目している物理量（たと  
 えば レーザー = オーダー パラメータ  $\langle b \rangle$ ）によっては 問  
 題があり注意を要するのである。

式 (3.12) から さらに 原子系の変数 (スピン演算子) を消  
 去し、発振臨界点近傍で レーザー光の場に対する Fokker-  
 Planck 方程式 (ボーズ = コヒーレント表示で) を導くことが  
 できるが、その際 発振臨界値及び拡散係数に対する補正項  
 が得られる。くわしくは 文献 4), 12) を参照していただきたい。

式 (3.12) を直接扱って 補正項の影響をみるのは 今後の問  
 題である。

## References

- 1) R. Kubo, in "Lectures in Theoretical Physics", ed. W.E. Brittin and L. G. Dunham (Lectures Delivered at the Summer Institute for Theoretical Physics, University of Colorado, Boulder, 1958), vol. I, pp. 120-203.
- 2) S. Nakajima, Prog. Theor. Phys. 20 (1958) 948.
- 3) R. Zwanzig, J. Chem. Phys. 33 (1960) 1338.
- 4) W. H. Louisell and A. Yariv, Phys. Rev. 124 (1961) 1646.
- 5) B. R. Mollow and R. J. Glauber, Phys. Rev. 160 (1967) 1076 and 1097.
- 6) P. N. Keating, Phys. Rev. A3 (1971) 180.
- 7) T. Arimitsu, Ph.D. Thesis (University of Tokyo, 1980).
- 8) T. Arimitsu, Y. Takahashi and F. Shibata, Physica 100A (1980) 507.
- 9) W. Weidlich and F. Haake, Z. Physik 185 (1965) 30.
- 10) W. Weidlich and F. Haake, Z. Physic 186 (1965) 203.
- 11) H. Haken, H. Risken and W. Weidlich, Z. Physik 206 (1967) 355.
- 12) T. Arimitsu, Physica (1980).